

柱状並列モデルによる脆性材料の圧縮破壊実験と考察

日本大学工学部 正員 田野久貴
 同 学生員 ○ 城田政次
 同 学生員 育藤貴

1. 緒言

石膏・岩石等のような脆性材料の一軸圧縮試験において、破壊開始応力と最大耐荷応力との間に差が存在する事が知られ、種々の実験及び研究等がなされている。

本文は、石膏を用いて製作した柱状試験片と、それらの柱状試験片100本よりなる柱状並列モデルの一軸圧縮試験を行ない、構成要素の強度分布と柱状並列モデルの強度との関係について考察を行なうものである。

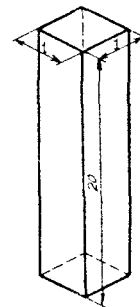


図-1 柱状試験片
(単位cm)

2. 実験方法

図-1に示すような $1\text{cm} \times 1\text{cm} \times 20\text{cm}$ に成型した柱状試験片(以下要素といふ)を用いて一軸圧縮試験を行なう。さらに要素100本よりなる柱状並列モデル(図-2)を製作し同様の試験を行なう。

また比較のために柱状並列モデルと同寸法の標準供試体(図-3)を製作し、一軸圧縮試験を行なった。

なお供試体諸元については、表-1に示す。

3. 実験結果及び考察

実験結果を表-2に示す。この表より要素の破壊強度と柱状並列モデルの破壊強度とにかなりの差がみられる。柱状並列モデルの破壊機構等については、先に報告がなされており、ここでは構成要素の強度分布と柱状並列モデルの強度との関係より、さうに若干の考察を加え検討する。

柱状並列モデルを構成する要素の強度分布は図-4に示すとおりほぼ正規分布をなしている。荷重速度を一定に保ち、応力を増加させてゆくと強度の最も低い要素より破壊が生ずる。このことより、荷重を受けた有効面積は破壊要素面積分だけ減少することになり、残留要素に加わる実質応力はこの点で急激な増加(以下ジャンプといふ)を示し、応力速度も増加する。このような破壊機構を仮定し、実質部の応力を σ_r を式で表わすと

$$\sigma_{rn} = \sum_{i=1}^n \dot{\sigma}_{ri} \cdot (\Delta t_i) + \sum_{i=1}^n (\Delta \sigma_{ri-1}) \quad (1)$$

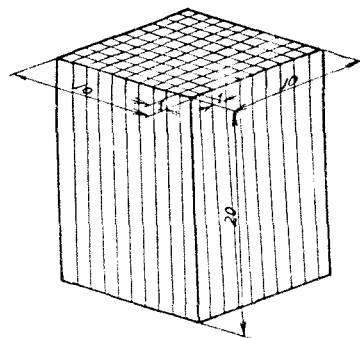


図-2 柱状並列モデル
(単位cm)

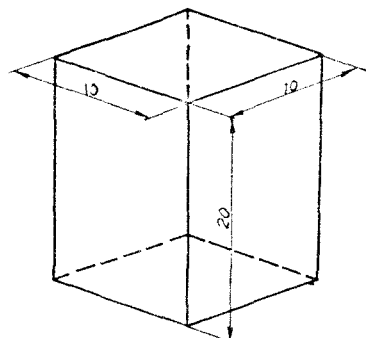


図-3 標準供試体
(単位cm)

諸元	柱状並列モデル	要素供試体	標準供試体
寸法(cm)	$10 \times 10 \times 20$	$1 \times 1 \times 20$	$10 \times 10 \times 20$
乾燥量(%)	25	25	25
養生(時間)	72	72	72
石膏化水の割合	1 : 0.6	1 : 0.6	1 : 0.6

表-1 寸法諸元

$\dot{\sigma}_r$: 実質部の応力速度 Δt : 時間 $\Delta \sigma_r$: ジャンプ量
となり (1) 式で $\dot{\sigma}_r = \infty$ となつた時に 柱状並列モデルが 全体破壊すると考えられる。この事より 図-4 に示すヒストグラムの各階級における中間値を代表値として (1) 式に代入した結果 柱状並列モデルの推定破壊荷重は 表-3 に示す値をえた。

さうにこの計算から $\dot{\sigma}_r = \infty$ に達する点は、要素6本が破壊したのち さうに応力が増加し 次の要素が破壊する瞬間であることをえた。このことは、要素の強度分布を 正規分布と仮定した場合 その分布が与える影響が 柱状並列モデルにおける最大耐荷力に対して 極めて大きいとの報告³⁾を裏付けている。

また 実験結果と計算結果とが かなり近似した値を示しており(表-3 参照) 柱状並列モデルの破壊機構が 先の仮定とよく適合しているように思われる。

また 柱状並列モデルが 一般に実験されている 形状の標準供試体と どのような差異を生じているかも検討すると 表-2 に示すように 柱状並列モデルの強度が 標準供試体の強度に比較して高い値を示している事がわかる。このことについては 次のような理由を考えられる。すなわち、柱状並列モデルにおいては、個々の要素が互いに横方向への変形を拘束しない事により、ヤング係数を高めていると考えられる。このことにより、柱状並列モデルの強度が 標準供試体に比較して 高い値を示すと考えられる。

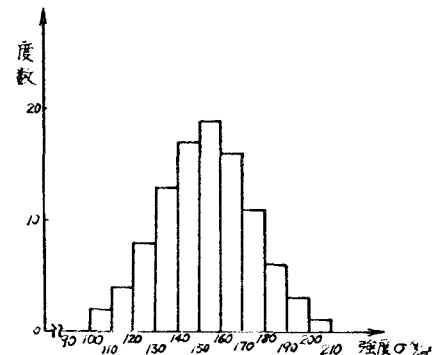
4. 緒言

以上 柱状並列モデルと要素との関係より 要素の強度分布が 柱状並列モデルの強度に与える影響が極めて大きく また 破壊機構についても 低強度要素より順次破壊¹⁾をし 破壊要素の応力が 残留要素に再分配することから全体破壊に至るという仮定を裏付けた。しかし この考察は 要素の強度分布を 正規分布と仮定しており、他の分布に対する検討がなされておらず このことについて 実験及び検討を加えたいと考えている。

また、この破壊機構が 脆性材料全般に適用できることは、なお多くの不明な点が残っており このことについても 実験及び検討を加えたいと考えている。

種類	柱状並列モデル	要素供試体	標準供試体
最大耐荷力(kN)	123.6	153.0	106.0
標準偏差(kN)	14.22	18.3	22.45
ヤング係数(GPa)	4.90×10^4		3.22×10^4

表-2 実験結果



種類	柱状並列モデル	標準供試体	計算結果
破壊荷重(kN)	12.36	10.60	11.75

表-3 破壊荷重

- (1) たとえば、佐武正雄、田野久貴：单一生リットをもつ岩石の一軸圧縮強度について、土木学会第10回岩石力学に関するシンポジウム講演概要集、86~90、1975
- (2) 佐武正雄、田野久貴：脆性材料の破壊発生とその伝播機構に関する考察 第5回国際力学国内シンポジウム講演概要集、55~60、1977.